

# Ciclo de potência a gás Otto

## Objetivo da Aula

- Nesta aula será apresentado o ciclo Otto para motores de combustão interna

Ao final desta aula, o aluno deve ser capaz de:

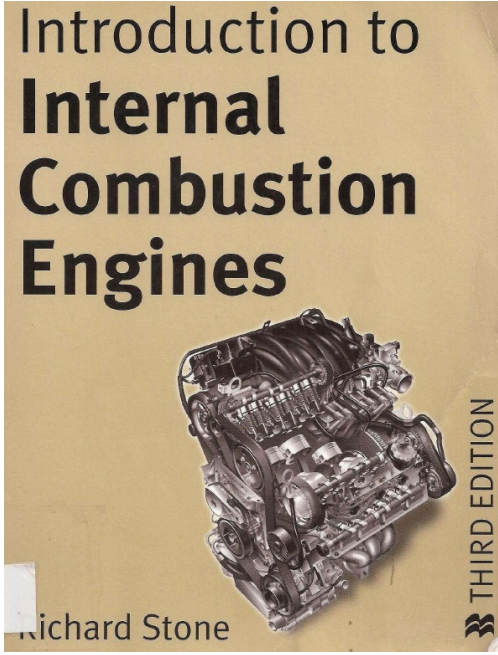
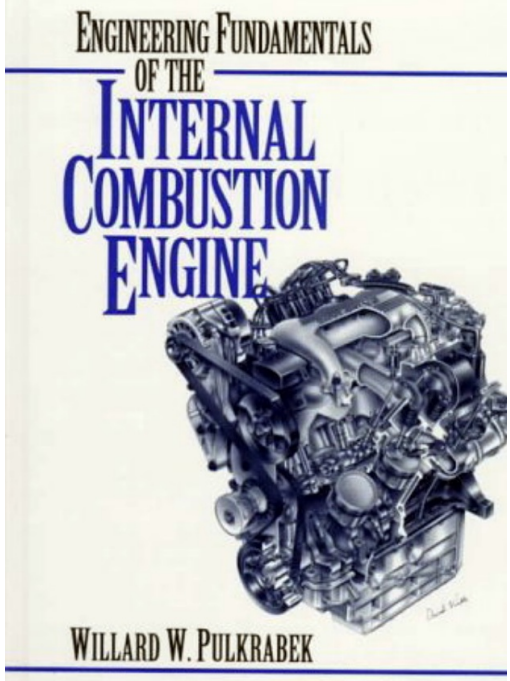
1. Identificar um ciclo Otto ideal
2. Desenhar os diagramas  $P - v$  e  $T - s$
3. Fazer balanço de energia em cada processo para calcular trabalhos, calores e rendimento do ciclo

Referências bibliográficas

# Automotive Engineering Fundamentals



Richard Stone and Jeffrey K. Ball



## Reciprocating Internal Combustion Engines



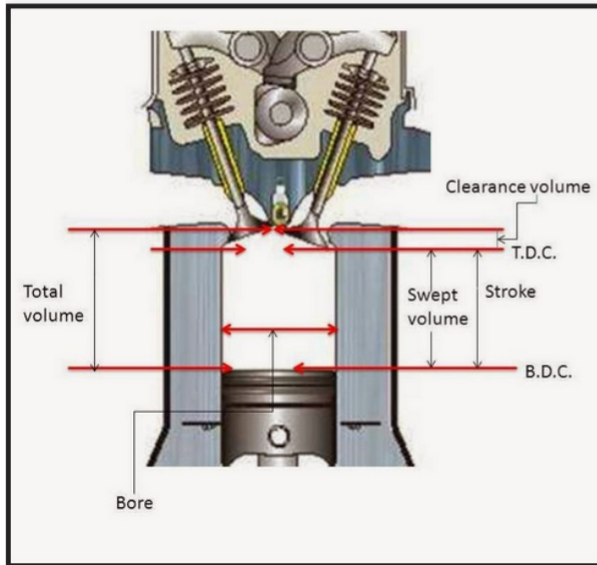
Michele Manno  
Department of Industrial Engineering  
University of Rome «Tor Vergata»

Last update: October 30th, 2015



# Parâmetros físicos importantes

## MOVIMENTO DO PISTÃO

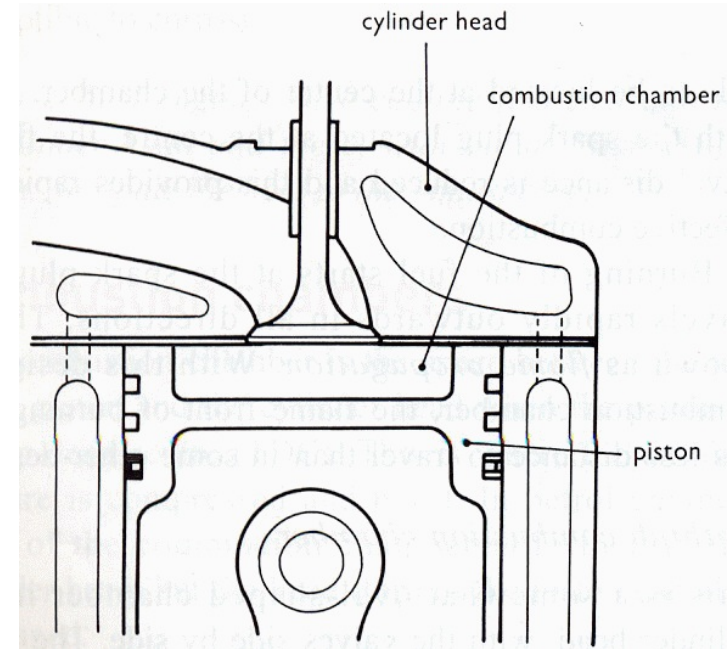


Taxa de compressão:  
razão entre volumes  
máximo e mínimo.

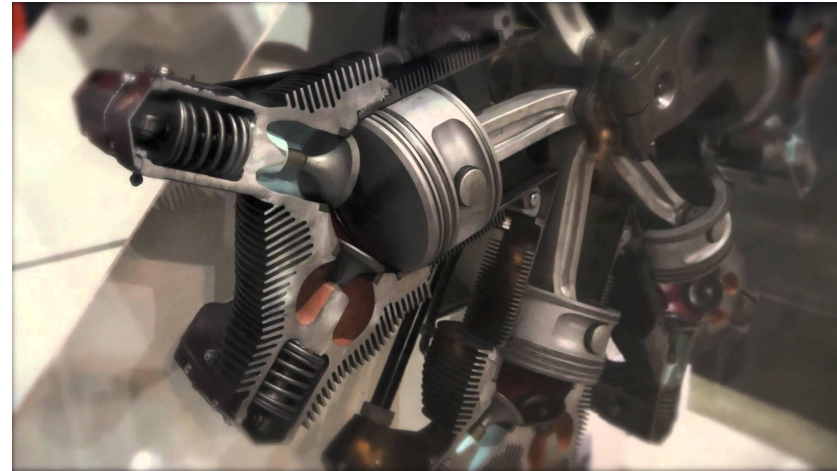
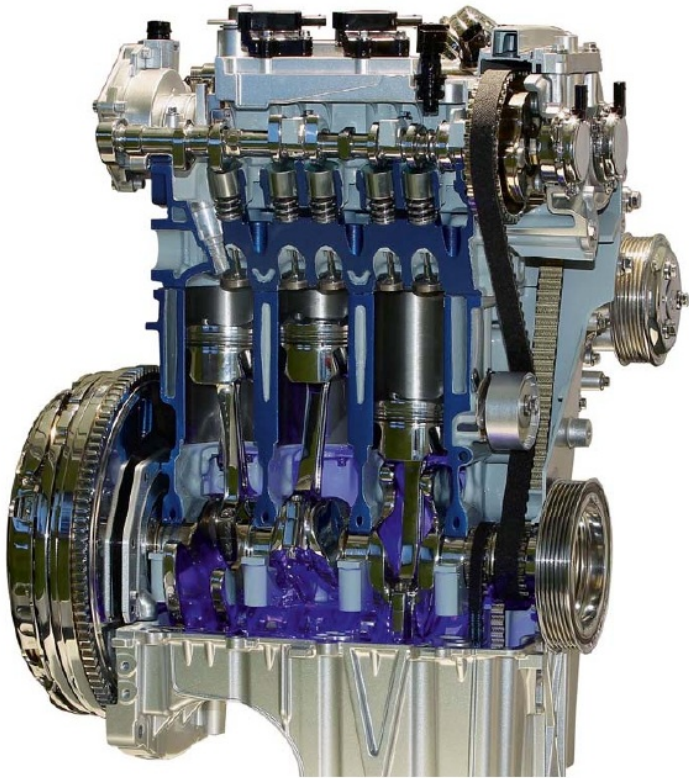
$$rc = \frac{V_t}{V_c}$$

$$SI: 8 \leq rc \leq 12$$

$$CI: 12 \leq rc \leq 24$$



# Câmara de Combustão e Volume residual



# O ciclo Otto de 4 tempos

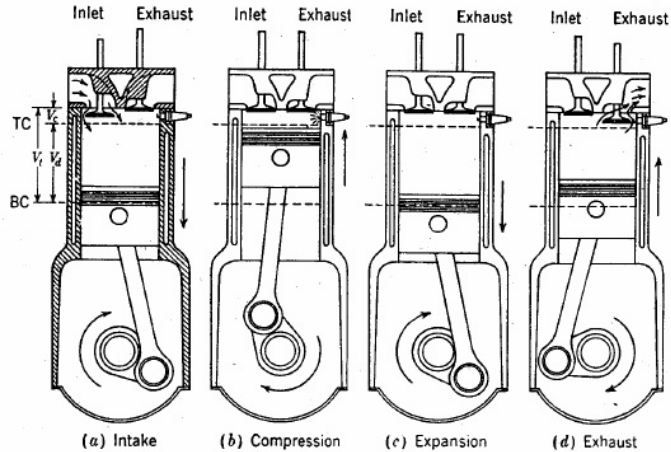
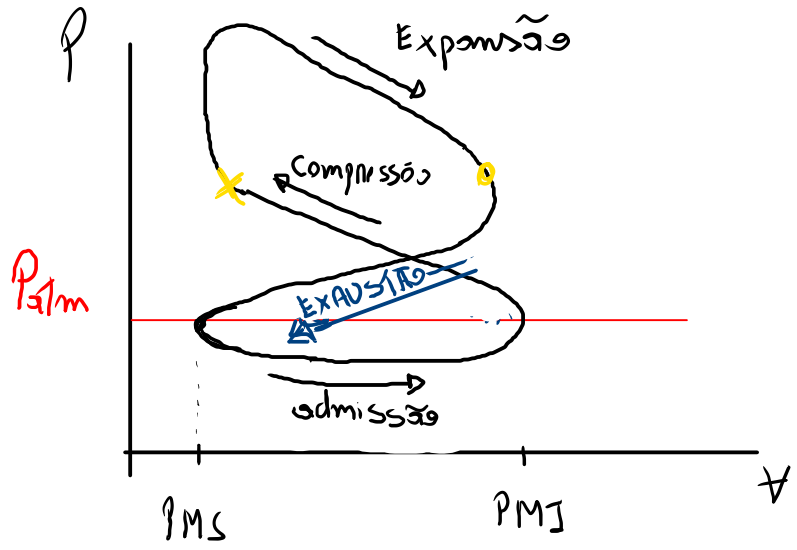
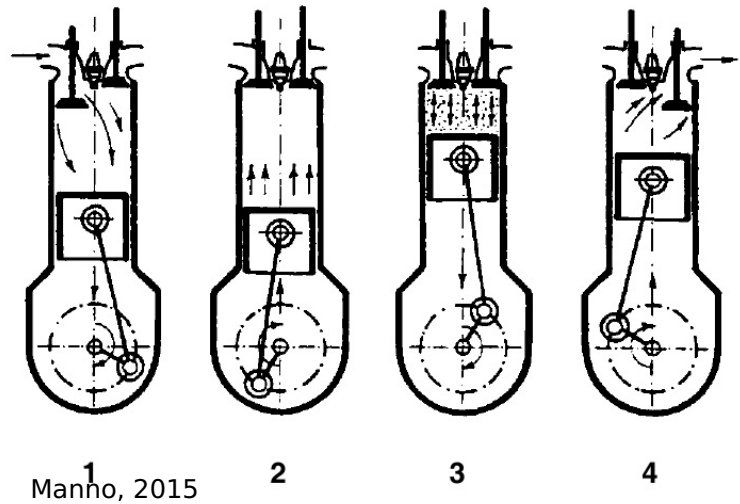
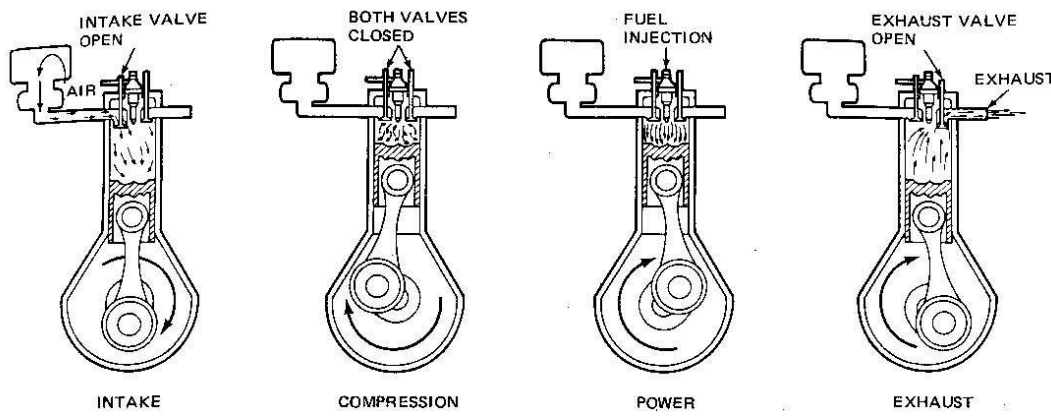
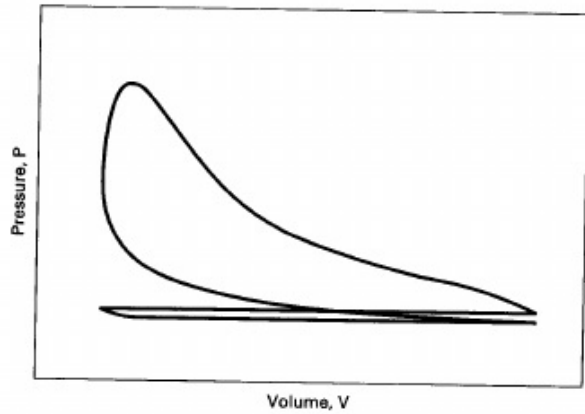


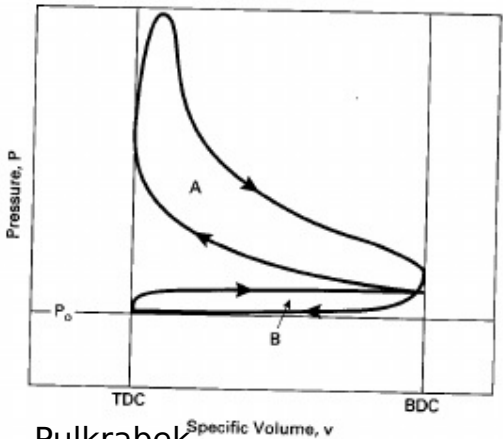
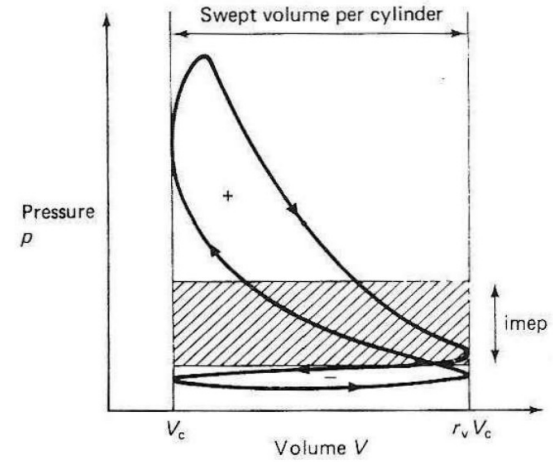
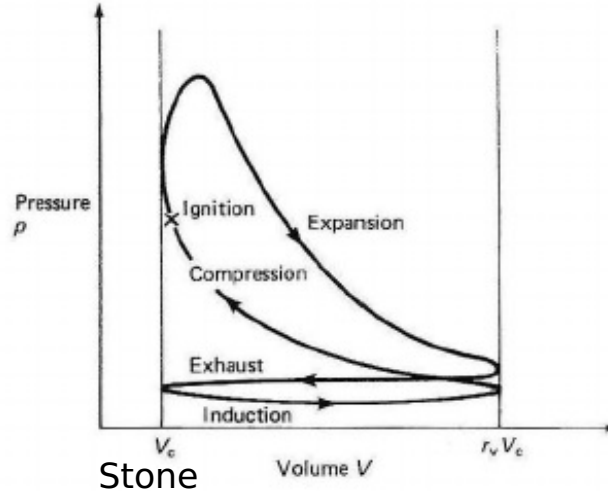
FIGURE 1-2 The four-stroke operating cycle.<sup>10</sup> Heywook, 1988





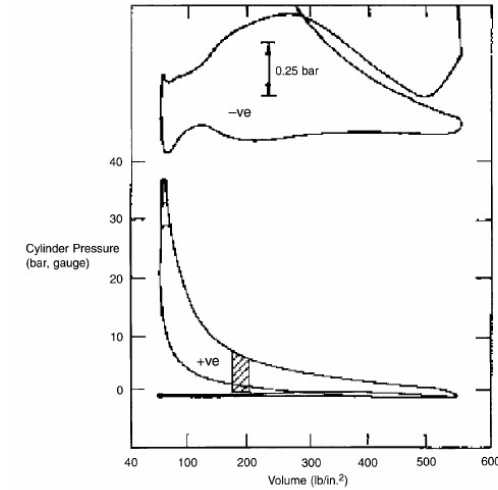
**Figure 2-6** Indicator diagram for a typical four stroke cycle SI engine. An indicator diagram plots cylinder pressure as a function of combustion chamber volume over a 720° cycle. The diagram is generated on an oscilloscope using a pressure transducer mounted in the combustion chamber and a position sensor mounted on the piston or crankshaft.

Pulkrabek



**Figure 2-10** Four-stroke cycle of a SI engine equipped with a supercharger or turbocharger, plotted on P-v coordinates. For this cycle intake pressure is greater than exhaust pressure and the pump work loop represents positive work.

Pulkrabek

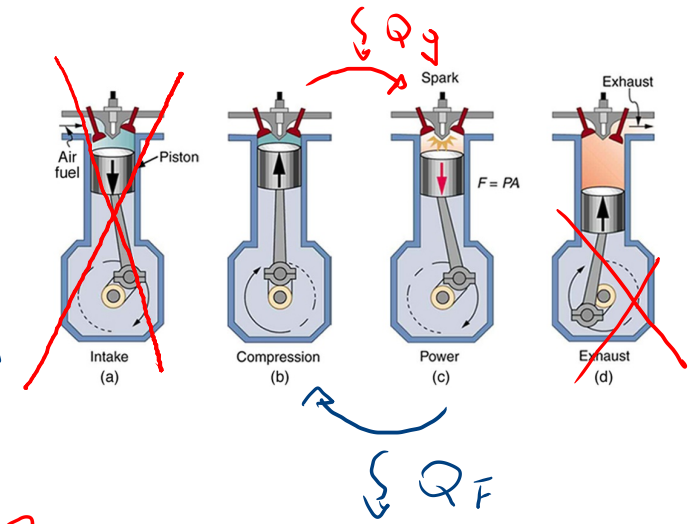


**Figure 2.3.** The pressure-volume or indicator from a Rover M16 engine operating at 2000 rpm, with an enlargement of the pumping loop, bmep = 3.8 bar, and imep = 4.6 bar (including the pumping work of 0.45 bar pmep). Adapted from Stone (1999).

# Considerações

De maneira semelhante ao ciclo Brayton, a análise a ar padrão considera:

1. quantidade fixa de ar no interior do pistão-cilindro *Sistema FECHADO!*
2. sempre ar ( não é convertido em produtos de combustão)
3. sempre gás ideal
4. Processo de combustão substituído por transferência de calor de uma fonte externa à volume constante  $\nabla$
5. Não há processos de admissão nem exaustão.
6. Processos internamente reversíveis *Eg. isent.*  $\left\{ \frac{T_2}{T_1} = \left( \frac{P_2}{P_1} \right)^{\frac{k-1}{k}} = \left( \frac{v_2}{v_1} \right)^{1-k} \right.$
7. A análise a ar frio considera calores específicos constantes avaliados à temperatura ambiente (298K)

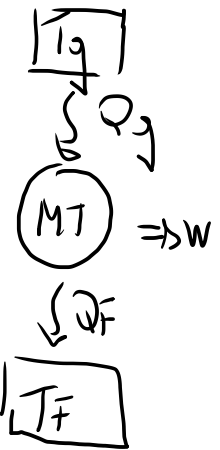
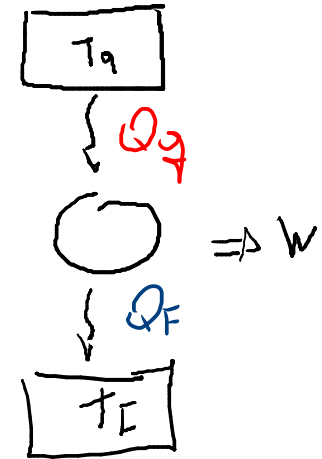
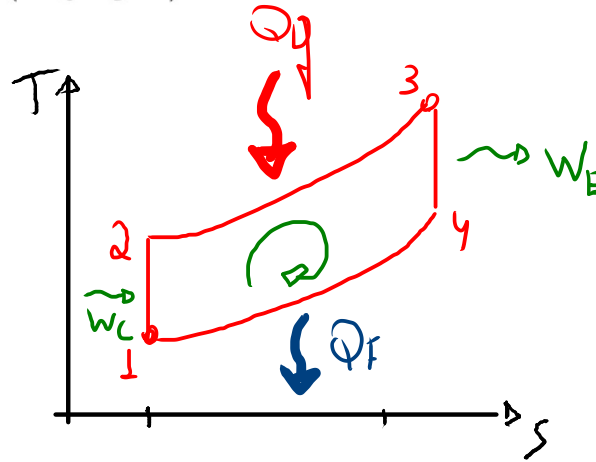
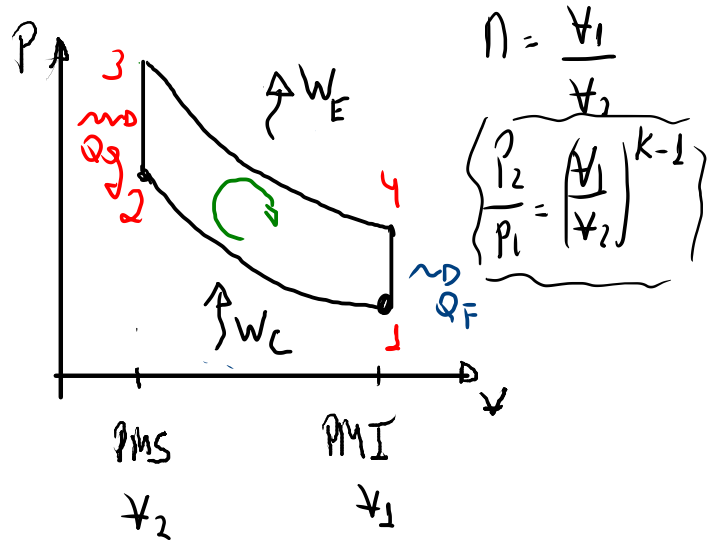
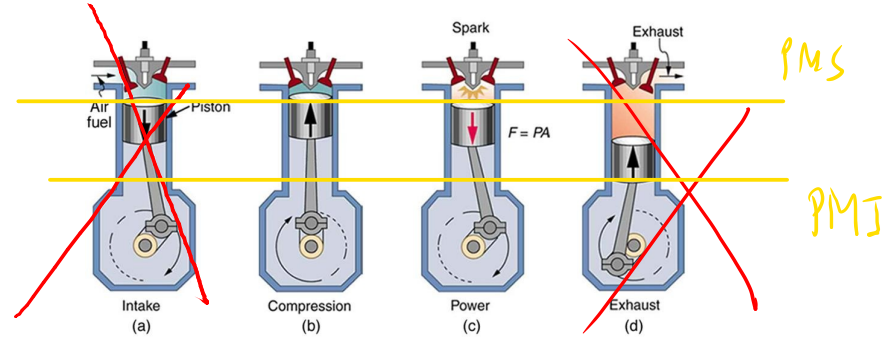


$$\begin{array}{l}
 c_p \\
 c_v
 \end{array}
 \Rightarrow
 \begin{array}{l}
 h = c_p \cdot T \\
 u = c_v \cdot T \quad *
 \end{array}$$

# Processos e 1ª Lei no ciclo otto

Processos:

- 1-2: Compressão adiabática *E REVERSÍVEL (ISOENTRÓPICA)*
- 2-3: Transferência calor a volume constante (Adição)
- 3-4: Expansão adiabática *E REVERSÍVEL (ISOENTRÓPICA)*
- 4-1: Transferência calor a volume constante (Rejeição)



$$1.2) \quad \cancel{\phi} \quad S_2 - S_1 = C_p \ln \left( \frac{T_2}{T_1} \right) - R \ln \left( \frac{P_2}{P_1} \right)$$

$$\cancel{\phi} \quad S_2 - S_1 = C_v \ln \left( \frac{T_2}{T_1} \right) + R \ln \left( \frac{V_2}{V_1} \right)$$

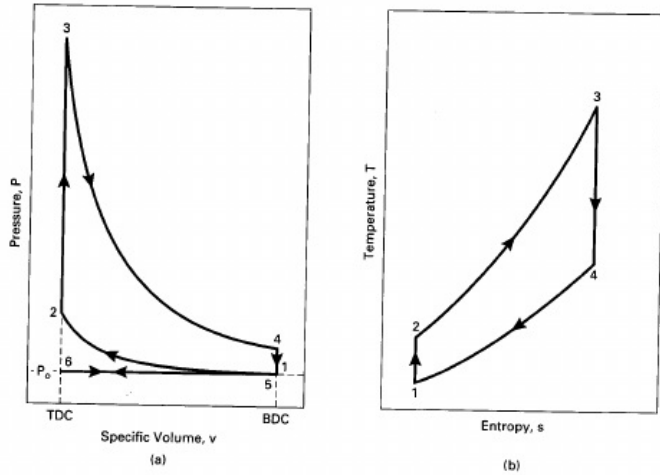


Figure 3-2 Otto cycle, 6-1-2-3-4-5-6, on (a) pressure-specific volume coordinates, and (b) temperature-entropy coordinates.

Puikrabeik

processos:

1. 1-2: Compressão adiabática
2. 2-3: Transferência calor a volume constante (Adição)
3. 3-4: Expansão adiabática
4. 4-1: Transferência calor a volume constante (Rejeição)

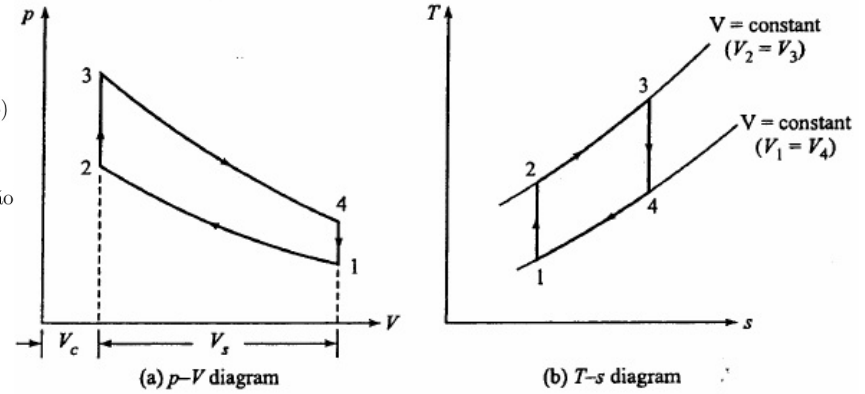
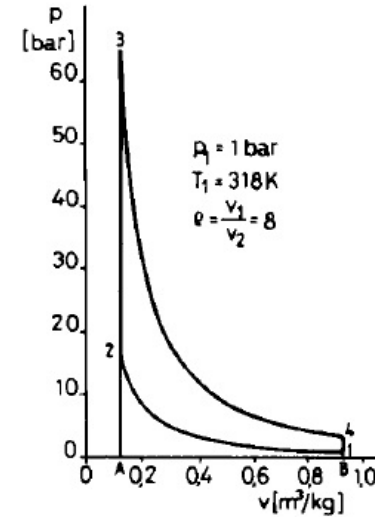


Figure 2.1 Otto cycle.

Gupta, 2009

### Constant-volume «Otto»



Manno, 2005

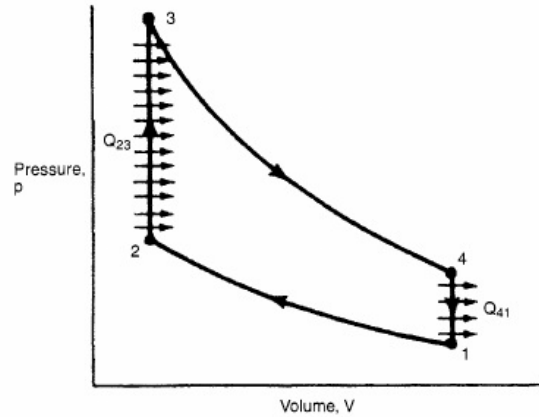
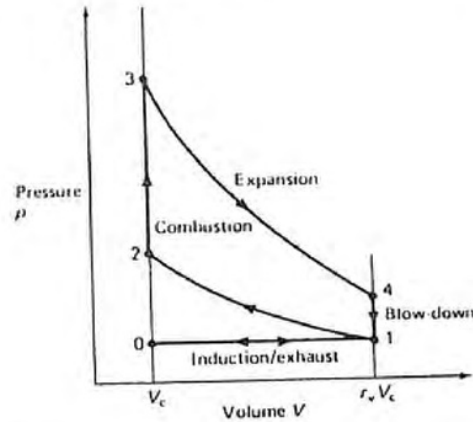


Figure 2.4. The air standard Otto cycle (Stone, 1999).



Stone

**Table 2. Graphic representations and definitions of the individual and overall efficiencies of the reciprocating-piston engine**

Pressure vs. volume diagram	Designation	Conditions	Definition	Efficiencies
	Theoretical reference constant-volume cycle	Ideal gas, constant specific heats, infinitely rapid heat addition and dissipation, etc.	$\eta_{th} = 1 - \varepsilon^{1-\gamma}$ Theoretical or thermal efficiency	$\eta_{th}$
	Real high-pressure working cycle	Wall heat losses, real gas, finitely rapid heat addition and dissipation, variable specific heats	$\eta_{i-P}$ Efficiency factor of the high-pressure cycle	$\eta_i$
	Real charge cycle (4-stroke)	Flow losses, heating of the mixture or the air, etc.	$\eta_{c,w}$ Charge exchange efficiency	$\eta_c$
Mechanical losses	Losses due to friction, cooling, auxiliary units	Real engine	$\eta_m$	$\eta_m$

top

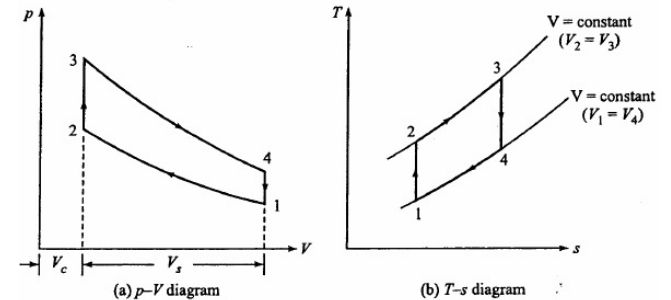
# Processos e 1ª Lei no ciclo otto

Processos:

1. 1-2: Compressão adiabática
2. 2-3: Transferência calor a volume constante (Adição)
3. 3-4: Expansão adiabática
4. 4-1: Transferência calor a volume constante (Rejeição)

$$dE = \delta Q + \delta W$$

$$dE = du + \cancel{dEK} + \cancel{dEP}$$



Gupta, 2009

Figure 2.1 Otto cycle.

## 1ª Lei:

1. 1-2:  $Q_{12} = 0$ ;  $W_{12} = dU_{12} = \underline{c_v (T_2 - T_1)}$
2. 2-3:  $W_{23} = 0$ ;  $Q_{23} = dU_{23} = U_3 - U_2 \Rightarrow Q_{23} = \underline{c_v (T_3 - T_2)}$
3. 3-4:  $Q_{34} = 0$ ;  $W_{34} = dU_{34} = U_4 - U_3 \Rightarrow W_{34} = \underline{c_v (T_4 - T_3)}$
4. 4-1:  $W_{41} = 0$ ;  $Q_{41} = dU_{41} = U_1 - U_4 \Rightarrow Q_{41} = \underline{c_v (T_1 - T_4)}$

# Cálculo dos estados termodinâmicos

$$\frac{T_2}{T_1} = \left(\frac{P_2}{P_1}\right)^{\frac{k-1}{k}} = \left(\frac{v_2}{v_1}\right)^{1-k}$$

$$\left(\frac{P_2}{P_1}\right)^{\frac{k-1}{k}} = \left(\frac{v_2}{v_1}\right)^{1-k} \rightarrow \frac{P_2}{P_1} = \left(\frac{v_2}{v_1}\right)^{(1-k)\frac{k}{k-1}} \rightarrow \frac{P_2}{P_1} = \left(\frac{v_2}{v_1}\right)^{-k}$$

$$P_3 v_3 = RT_3 \rightarrow P_3 = \frac{RT_3}{v_3}$$

$\frac{P_2 v_2}{T} = R \Rightarrow \frac{P_3 v_3}{T_3} = \frac{P_2 v_2}{T_2}$

$$\frac{T_4}{T_3} = \left(\frac{P_4}{P_3}\right)^{\frac{k-1}{k}} = \left(\frac{v_4}{v_3}\right)^{1-k}$$

Processos:

1. 1-2: Compressão adiabática
2. 2-3: Transferência calor a volume constante (Adição)
3. 3-4: Expansão adiabática
4. 4-1: Transferência calor a volume constante (Rejeição)

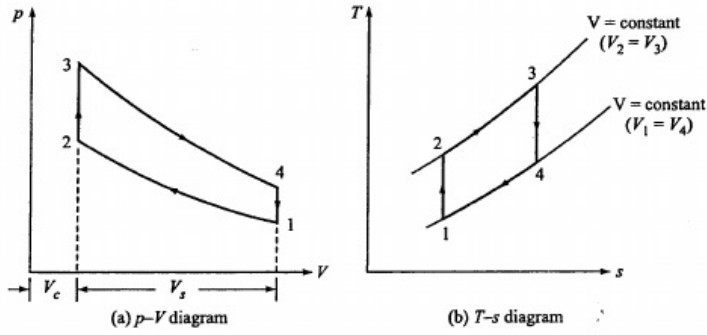


Figure 2.1 Otto cycle.

Gupta, 2009

Estado	P[KPa]	T[°C]	v[m <sup>3</sup> /Kg]	R[KJ/Kg.K]
1	P <sub>1</sub>	T <sub>1</sub>	v <sub>1</sub>	R
2	P <sub>2</sub>	T <sub>2</sub>	v <sub>2</sub>	R
3	P <sub>3</sub>	T <sub>3</sub>	v <sub>3</sub>	R
4	P <sub>4</sub>	T <sub>4</sub>	v <sub>4</sub>	R

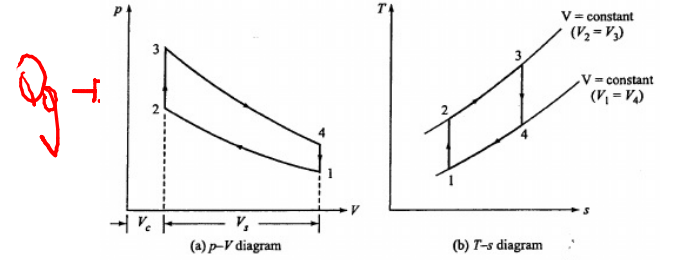
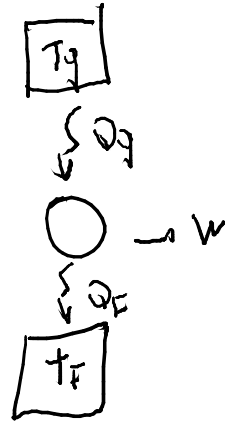
$$Pv = R \cdot T \quad \{ P v = m R T$$

$$R = 287 \frac{J}{kg \cdot K}$$

# Rendimento

$$\eta_{Otto} = 1 - \frac{T_4 - T_1}{r_v^{\gamma-1} (T_4 - T_1)} = 1 - \frac{1}{r_v^{\gamma-1}}$$

$$\eta = \frac{W_{liq}}{Q_g} = \frac{Q_g - Q_F}{Q_g} \Rightarrow \eta = 1 - \frac{Q_F}{Q_g}$$



Gupta, 2009

Figure 2.1 Otto cycle.

$$\eta = 1 - \frac{C_v (T_4 - T_1)}{C_v (T_3 - T_2)}$$

$$\eta = 1 - \frac{T_1 \left( \frac{T_4}{T_1} - 1 \right)}{T_2 \left( \frac{T_3}{T_2} - 1 \right)}$$

$$\eta = 1 - \frac{T_1}{T_2} = 1 - \frac{1}{r^{\gamma-1}}$$

$$\frac{T_2}{T_1} = \left( \frac{v_2}{v_1} \right)^{\gamma-1} = \left( \frac{v_1}{v_2} \right)^{\gamma-1} = r^{\gamma-1}$$

$$\frac{T_4}{T_3} = \left( \frac{v_4}{v_3} \right)^{\gamma-1} \Rightarrow \frac{T_4}{T_3} = r^{\gamma-1} \Rightarrow \frac{T_3}{T_4} = r^{\gamma-1}$$

$$\frac{T_2}{T_1} = \frac{T_3}{T_4} \Rightarrow \frac{T_4}{T_1} = \frac{T_3}{T_2}$$

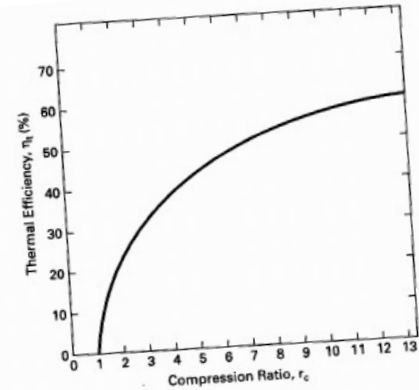
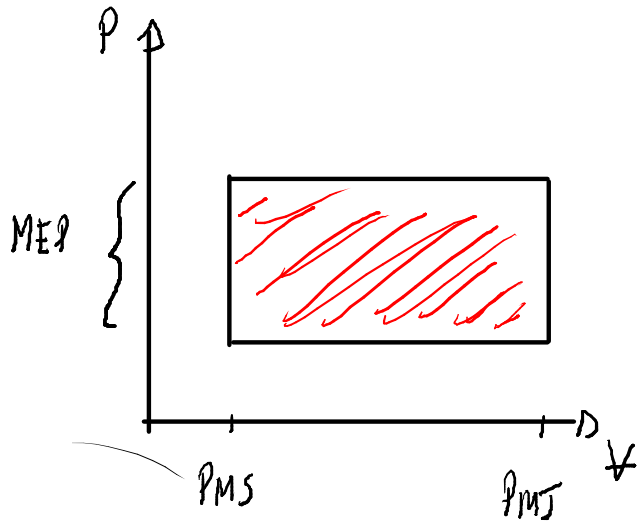


Figure 3-3 Indicated thermal efficiency as a function of compression ratio for SI engines operating at WOT on air-standard Otto cycle ( $k = 1.35$ ).

Pulkrabek

# Pressão efetiva média



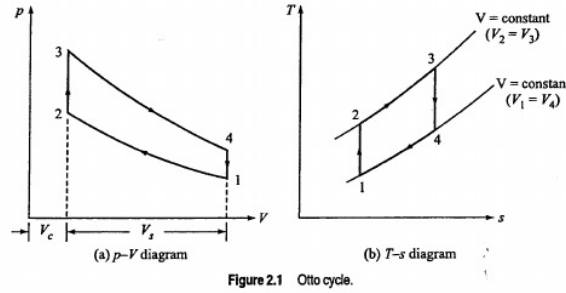
$$MEP = \frac{W_{Liq}}{V_{disL}} \Rightarrow W_{Liq} = MEP \cdot V_{disL}$$

$$\frac{J}{m^3} = \frac{N \cdot m}{m^3} = \frac{N}{m^2} = Pa$$

$$\frac{\cancel{J}}{\cancel{m^3}} = \frac{J}{m^3} = Pa$$

# Procedimento de Solução

## 1) Diagrama P-v e T-s



Gupta, 2009

## 2) Tabela de Estados

Gupta, 2009

Estado	P[KPa]	T[°C]	v[m <sup>3</sup> /Kg]	R[KJ/Kg.K]
1	$P_1$	$T_1$	$v_1$	$R$
2	$P_2$	$T_2$	$v_2$	$R$
3	$P_3$	$T_3$	$v_3$	$R$
4	$P_4$	$T_4$	$v_4$	$R$

## 3) Tabela de Processos

Processos:

- 1-2: Compressão adiabática
- 2-3: Transferência calor a volume constante (Adição)
- 3-4: Expansão adiabática
- 4-1: Transferência calor a volume constante (Rejeição)

Processo	q[KJ/Kg]	w[KJ/Kg]
1-2	0	$c_v(T_2 - T_1)$
2-3	$c_v(T_3 - T_2)$	0
3-4	0	$c_v(T_4 - T_3)$
4-1	$c_v(T_1 - T_4)$	0
$\Sigma$	$q_{liq}$	$w_{liq}$

$$P \theta = R \cdot T$$

$$R = \frac{P \theta}{T}$$

$$R = 287 \frac{\text{J}}{\text{kg K}}$$

$$de = \delta q + \delta w$$

$$\eta = \frac{w_{liq}}{q_{in}}$$

$$MEP = \frac{w_{liq}}{V_{des}}$$